

УДК 54.057:542.951.1:547.756

## СИНТЕЗ ТА ВЛАСТИВОСТІ N-[*(1Z*)-2-АРИЛАМИНО-2-ОКСО-1-(2-ОКСО-1,2-ДИГІДРО-3Н-ІНДОЛ-3-ІЛІДЕН)ЕТИЛ]БЕНЗАМИДІВ

С.В.Колісник, В.В.Болотов, О.О.Алтухов, С.В.Шишкіна\*

Національний фармацевтичний університет  
61002, м. Харків, вул. Пушкінська, 53. E-mail: anchem@ukrfa.kharkov.ua  
\* Інститут сцинтиляційних матеріалів НАН України

**Ключові слова:** (2-оксо-1,2-дигідро-3Н-індол-3-іліден)-2-оксіоцтова кислота; 2-феніл-4-(2-оксоіндоліліден-3)-5-оксазолон; N-[*(1Z*)-2-ариламіно-2-оксо-1-(2-оксо-1,2-дигідро-3Н-індол-3-іліден)етил]бензаміди; аміноліз; рентгеноструктурне дослідження

**Шляхом амінолізу 2-феніл-4-(2-оксоіндоліліден-3)-5-оксазолону ариламінами синтезовані N-[*(1Z*)-2-ариламіно-2-оксо-1-(2-оксо-1,2-дигідро-3Н-індол-3-іліден)етил]бензаміди. Вивчені спектральні характеристики синтезованих сполук, проведено рентгеноструктурне дослідження N-[*(1Z*)-2-аніліно-2-оксо-1-(2-оксо-1,2-дигідро-3Н-індол-3-іліден)етил]бензаміду.**

**SYNTHESIS AND PROPERTIES OF N-[*(1Z*)-2-ARYLAMINO-2-OXO-1-(2-OXO-1,2-DIHYDRO-3H-INDOL-3-ILIDENE)ETHYL]BENZAMIDES**

S.V.Kolesnik, V.V.Bolotov, O.O.Altukhov, S.V.Shishkina

*N-[*(1Z*)-2-arylaminoo-2-oxo-1-(2-oxo-1,2-dihydro-3H-indol-3-ylidene)ethyl]benzamides have been synthesized by aminolysis of 2-phenil-4-(2-oxoindolinylidene-3)-5-oxazolones with arylamines. Spectral characteristics of compounds synthesized have been studied, X-ray-structural analysis of N-[*(1Z*)-2-anilino-2-oxo-1-(2-oxo-1,2-dihydro-3H-indol-3-ylidene)ethyl]benzamide has been carried out.*

**СИНТЕЗ И СВОЙСТВА N-[*(1Z*)-2-АРИЛАМИНО-2-ОКСО-1-(2-ОКСО-1,2-ДИГИДРО-3Н-ИНДОЛ-3-ИЛІДЕН)ЭТИЛ]БЕНЗАМИДОВ**

С.В.Колесник, В.В.Болотов, А.А.Алтухов, С.В.Шишкіна

*Путем аминолиза 2-фенил-4-(2-оксоіндоліліден-3)-5-оксазолона ариламінами синтезированы N-[*(1Z*)-2-ариламіно-2-оксо-1-(2-оксо-1,2-дигидро-3Н-індол-3-іліден)етил]бензаміди. Изучены спектральные характеристики синтезированных соединений, проведено рентгеноструктурное исследование N-[*(1Z*)-2-аніліно-2-оксо-1-(2-оксо-1,2-дигидро-3Н-індол-3-іліден)етил]бензаміда.*

У ряду амідів (2-оксо-1,2-дигідро-3Н-індол-3-іліден)-2-оксіоцтової кислоти знайдені сполуки з різноманітною фармакологічною активністю: пропизапальною, аналгетичною, діуретичною, антигіпоксичною, стреспротекторною, ноотропною, церебропротекторною та ін. [1, 3-11].

У роботі [14] показано, що вихідною сполукою для синтезу (2-оксо-1,2-дигідро-3Н-індол-3-іліден)-2-оксіоцтової кислоти може бути азлактон 2-бензойламіно-(2-оксо-1,2-дигідро-3Н-індол-3-іліден)-оцтової кислоти (2-феніл-4-(2-оксоіндоліліден-3)-5-оксазолон) (2), який отримують при нагріванні 2-бензойламіно-(2-оксо-1,2-дигідро-3Н-індол-3-іліден)-оцтової кислоти (1) з надлишком оцтового ангідриду (схема 1).

У той же час азлактони можуть бути вихідними сполуками для синтезу амідів 2-бензойламіно-(2-оксо-1,2-дигідро-3Н-індол-3-іліден)-оцтової кислоти, які не вивчені як у хімічному, так і фармакологічному відношенні.

Враховуючи вищезазначене та продовжуючи дослідження похідних 2-оксоіндоліну, ми поста-

вили за мету даної роботи проведення синтезу ариламідів кислоти 1 та вивчення їх структури і властивостей.

N-[*(1Z*)-2-ариламіно-2-оксо-1-(2-оксо-1,2-дигідро-3Н-індол-3-іліден)етил]бензаміди (3а-т) отримували шляхом амінолізу азлактону (2) ариламінами в середовищі диметилформаміду або етанолу (схема 2).

Слід відзначити, що при проведенні реакції в середовищі етанолу виходи ариламідів були вищими, а цільові продукти більш чистими.

N-[*(1Z*)-2-ариламіно-2-оксо-1-(2-оксо-1,2-дигідро-3Н-індол-3-іліден)етил]бензаміди являють собою кристалічні речовини жовтого кольору з високими температурами плавлення (табл. 1). Речовини не розчиняються у воді і розчиняються в органічних розчинниках (ДМФА, 1,4-діоксані).

Структуру синтезованих сполук підтверджено даними елементного аналізу,  $\text{H}^1$  ЯМР-спектроскопії, даними рентгеноструктурного дослідження, а індивідуальність — методом хроматографії у тонких шарах сорбенту.

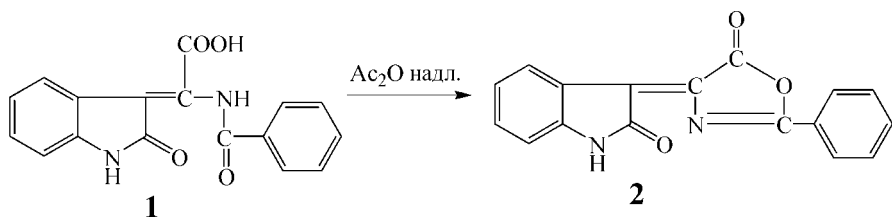
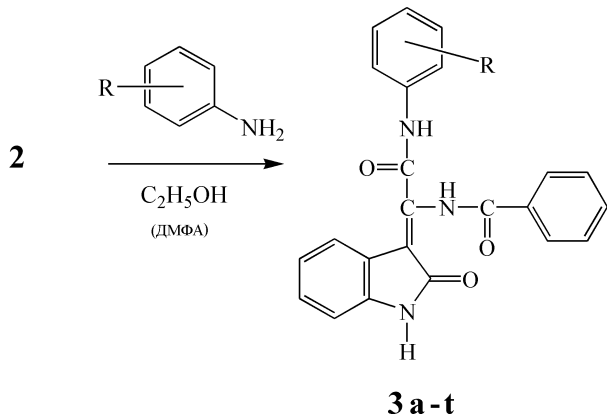


Схема 1



R = H (3a); 2-CH<sub>3</sub> (3b); 3-CH<sub>3</sub> (3c); 4-CH<sub>3</sub> (3d); 2,5-(CH<sub>3</sub>)<sub>2</sub> (3e); 3,4-(CH<sub>3</sub>)<sub>2</sub> (3g); 3,5-(CH<sub>3</sub>)<sub>2</sub> (3f); 2,4,6-(CH<sub>3</sub>)<sub>3</sub> (3h); 2-OCH<sub>3</sub> (3i); 3-OCH<sub>3</sub> (3j); 4-OCH<sub>3</sub> (3k); 3,4-(OCH<sub>3</sub>)<sub>2</sub> (3l); 3-C<sub>2</sub>H<sub>5</sub> (3m); 4-C<sub>2</sub>H<sub>5</sub> (3n); 4-OC<sub>2</sub>H<sub>5</sub> (3o); 2-OH (3p); 3-OH (3q); 4-OH (3r); 2-OH,4-Cl (3s); 2-OH,4-NO<sub>2</sub> (3t)

Схема 2

В ЯМР <sup>1</sup>Н спектрах синтезованих сполук (табл. 2) спостерігається ряд загальних сигналів протонів. Серед них синглети протонів амідних груп: індольного циклу при 13,08-12,81 м.ч., бензойамідних фрагментів при 11,21-10,99 м.ч., ариламідних — при 10,91-10,05 м.ч.; мультиплетний сигнал ароматичних протонів в області 8,09-6,21 м.ч. Розщеплення сигналу ароматичних протонів та їх інтенсивність відповідають кількості та розташуванню замісників в ариламідному фрагменті молекули. Замісники ариламідних залишків, які містять водень, проявляються в спектрах ПМР у відповідних інтенсивностях, мультиплетностях та хімічних зсувах.

Наявність подвійного зв'язку між 2-оксоіндоліновим циклом і замісником у положенні 3 сполук 3a-t створює умови для можливого їх існування в E або Z конфігурації. З метою встановлення стереооструктури сполук 3a-t нами було проведене рентгеноструктурне дослідження однієї з

Таблиця 1

Властивості N-[1Z]-2-ариламіно-2-оксо-1-(2-оксо-1,2-дигідро-3Н-індол-3-іліден)етил]бензамідів (3a-t)

Сполука	R	Брутто-формула	Знайдено N, % Розраховано N, %	Т.пл., °C	Вихід, %
1	2	3	4	5	6
3a	H	C <sub>23</sub> H <sub>17</sub> N <sub>3</sub> O <sub>3</sub>	11.03 10.96	272-274	86
3b	2-CH <sub>3</sub>	C <sub>24</sub> H <sub>19</sub> N <sub>3</sub> O <sub>3</sub>	10.42 10.57	270-272	75
3c	3-CH <sub>3</sub>	C <sub>24</sub> H <sub>19</sub> N <sub>3</sub> O <sub>3</sub>	10.39 10.57	268-270	70
3d	4-CH <sub>3</sub>	C <sub>24</sub> H <sub>19</sub> N <sub>3</sub> O <sub>3</sub>	10.54 10.57	252-254	80
3e	2,5-(CH <sub>3</sub> ) <sub>2</sub>	C <sub>25</sub> H <sub>21</sub> N <sub>3</sub> O <sub>3</sub>	10.34 10.21	274-276	80
3f	3,5-(CH <sub>3</sub> ) <sub>2</sub>	C <sub>25</sub> H <sub>21</sub> N <sub>3</sub> O <sub>3</sub>	10.38 10.21	280-282	85
3g	3,4-(CH <sub>3</sub> ) <sub>2</sub>	C <sub>25</sub> H <sub>21</sub> N <sub>3</sub> O <sub>3</sub>	10.18 10.21	258-260	78
3h	2,4,6-(CH <sub>3</sub> ) <sub>3</sub>	C <sub>26</sub> H <sub>23</sub> N <sub>3</sub> O <sub>3</sub>	10.02 9.88	314-316	76
3i	2-OCH <sub>3</sub>	C <sub>24</sub> H <sub>19</sub> N <sub>3</sub> O <sub>4</sub>	10.01 10.16	260-262	82
3j	3-OCH <sub>3</sub>	C <sub>24</sub> H <sub>19</sub> N <sub>3</sub> O <sub>4</sub>	10.08 10.16	265-267	79
3k	4-OCH <sub>3</sub>	C <sub>24</sub> H <sub>19</sub> N <sub>3</sub> O <sub>4</sub>	10.22 10.16	292-294	71
3l	3,4-(OCH <sub>3</sub> ) <sub>2</sub>	C <sub>25</sub> H <sub>21</sub> N <sub>3</sub> O <sub>5</sub>	9.51 9.48	278-280	66

## Продовження табл. 1

1	2	3	4	5	6
3m	3-C <sub>2</sub> H <sub>5</sub>	C <sub>25</sub> H <sub>21</sub> N <sub>3</sub> O <sub>3</sub>	10.14 10.21	278-280	83
3n	4-C <sub>2</sub> H <sub>5</sub>	C <sub>25</sub> H <sub>21</sub> N <sub>3</sub> O <sub>3</sub>	10.08 10.21	250-252	86
3o	4-OC <sub>2</sub> H <sub>5</sub>	C <sub>25</sub> H <sub>21</sub> N <sub>3</sub> O <sub>4</sub>	9.78 9.83	244-246	95
3p	2-OH	C <sub>23</sub> H <sub>17</sub> N <sub>3</sub> O <sub>4</sub>	10.41 10.52	258-260	90
3q	3-OH	C <sub>23</sub> H <sub>17</sub> N <sub>3</sub> O <sub>4</sub>	10.48 10.52	278-280	65
3r	4-OH	C <sub>23</sub> H <sub>17</sub> N <sub>3</sub> O <sub>4</sub>	10.55 10.52	280-282	87
3s	2-OH,4-Cl	C <sub>23</sub> H <sub>16</sub> ClN <sub>3</sub> O <sub>4</sub>	9.65 9.69	274-276	89
3t	2-OH,4-NO <sub>2</sub>	C <sub>23</sub> H <sub>16</sub> N <sub>4</sub> O <sub>6</sub>	12.72 12.61	274-276	87

Таблиця 2

Спектри ЯМР <sup>1</sup>H синтезованих сполук 3a-т

Сполука	Хімічні зсуви, δ, м.ч.				
	NH-індол (1Н, с)	NHCO (1Н, с)	CONH (1Н, с)	Ar-H	сигнали протонів інших функціональних груп
3a	12,95	11,21	10,89	8,11-6,81, м, 14Н	
3b	12,81	11,15	10,33	8,11-6,81, м, 13Н	2,18 (3Н, с, CH <sub>3</sub> )
3c	12,81	11,13	10,81	8,11-6,52, м, 13Н	2,21 (3Н, с, CH <sub>3</sub> )
3d	12,91	11,08	10,79	8,11-6,60, м, 13Н	2,21 (3Н, с, CH <sub>3</sub> )
3e	12,91	11,17	10,25	8,11-6,78, м, 12Н	2,21 (3Н, с, CH <sub>3</sub> ); 2,08 (3Н, с, CH <sub>3</sub> )
3f	12,92	11,11	10,79	8,11-6,52, м, 12Н	2,23 (6Н, с, (CH <sub>3</sub> ) <sub>2</sub> )
3g	12,91	11,12	10,79	8,09-6,21, м, 12Н	2,18 (3Н, с, CH <sub>3</sub> ); 1,99 (3Н, с, CH <sub>3</sub> )
3h	13,08	11,08	10,05	8,11-6,71, м, 11Н	2,19 (9Н, с, (CH <sub>3</sub> ) <sub>3</sub> )
3i	12,91	10,99	10,15	8,21-6,72, м, 13Н	3,75 (3Н, с, OCH <sub>3</sub> )
3j	12,89	11,15	10,91	8,11-6,59, м, 13Н	3,71 (3Н, с, OCH <sub>3</sub> )
3k	12,90	11,12	10,81	8,11-6,70, м, 13Н	3,61 (3Н, с, OCH <sub>3</sub> )
3l	12,85	11,13	10,78	8,11-6,78, м, 12Н	3,73 (6Н, с, (OCH <sub>3</sub> ) <sub>2</sub> )
3m	12,97	11,11	10,79	8,11-6,67, м, 13Н	2,23 (2Н, κ, CH <sub>2</sub> ); 1,17 (3Н, τ, CH <sub>3</sub> )
3n	12,91	11,11	10,81	8,11-6,41, м, 13Н	2,62 (2Н, κ, CH <sub>2</sub> ); 1,18 (3Н, τ, CH <sub>3</sub> )
3o	12,91	11,08	10,79	8,11-6,48, м, 13Н	4,08 (2Н, τ, OCH <sub>2</sub> ); 1,31 (3Н, м, CH <sub>3</sub> )
3p	12,93	11,08	10,25	8,18-6,65, м, 13Н	9,71 (1Н, с, OH)
3q	12,89	11,15	10,85	8,09-6,41, м, 13Н	9,52 (1Н, с, OH)
3r	12,88	11,21	10,57	8,11-6,48, м, 13Н	9,31 (1Н, с, OH)
3s	12,89	11,10	10,42	8,32-6,87, м, 12Н	10,09 (1Н, с, OH)
3t	12,91	11,13	10,69	8,11-6,72, м, 12Н	9,17 (1Н, с, OH)

Таблиця 3

Довжини зв'язків ( $\text{\AA}$ ) у структурі  
N-[(1Z)-2-аніліно-2-оксо-1-(2-оксо-1,2-дигідро-  
3Н-індол-3-іліден)етил]бензаміду

Зв'язок		Зв'язок	
O(1)-C(8)	1.243(2)	O(2)-C(10)	1.211(2)
O(3)-C(17)	1.216(2)	N(1)-C(8)	1.343(2)
N(1)-C(1)	1.414(2)	N(2)-C(10)	1.334(2)
N(2)-C(11)	1.417(2)	N(3)-C(17)	1.367(2)
N(3)-C(9)	1.370(2)	C(1)-C(2)	1.361(2)
C(1)-C(6)	1.401(2)	C(2)-C(3)	1.377(2)
C(3)-C(4)	1.381(2)	C(4)-C(5)	1.367(2)
C(5)-C(6)	1.384(2)	C(6)-C(7)	1.435(2)
C(7)-C(9)	1.341(2)	C(7)-C(8)	1.487(2)
C(9)-C(10)	1.530(2)	C(11)-C(12)	1.369(2)
C(11)-C(16)	1.376(2)	C(12)-C(13)	1.400(2)
C(13)-C(14)	1.346(2)	C(14)-C(15)	1.340(2)
C(15)-C(16)	1.367(2)	C(17)-C(18)	1.486(2)
C(18)-C(23)	1.373(2)	C(18)-C(19)	1.380(2)
C(19)-C(20)	1.370(2)	C(20)-C(21)	1.356(2)
C(21)-C(22)	1.357(2)	C(22)-C(23)	1.388(2)
O(1SA)-C(1SC)	1.435(3)	O(1SA)-C(1SA)	1.435(3)
O(1SA)-C(4SC)	1.437(3)	O(1SA)-C(4SA)	1.438(3)
O(2SA)-C(3SA)	1.426(3)	O(2SA)-C(2SC)	1.427(3)
O(2SA)-C(2SA)	1.442(3)	O(2SA)-C(3SC)	1.494(4)
C(1SA)-C(2SA)	1.514(3)	C(3SA)-C(4SA)	1.509(3)
C(1SC)-C(2SC)	1.515(4)	C(3SC)-C(4SC)	1.511(4)
O(1SB)-C(1SB)	1.342(2)	C(1SB)-C(2SB)	1.392(3)

синтезованих сполук — N-[(1Z)-2-аніліно-2-оксо-1-(2-оксо-1,2-дигідро-3Н-індол-3-іліден)етил]бензаміду (**3a**), який було перекристалізовано з 1,4-діоксану (рис. 1, табл. 3-4). У кристалі молекули **3a** існують у вигляді сольвату з 1,4-діоксаном складу 2:3. Одна з сольватних молекул діоксану (молекула А) розупорядкована за двома положеннями (A1 та A2) з рівно імовірною заселеністю, а друга молекула діоксану (молекула В) знаходитьться у центрі симетрії.

Біциклічний фрагмент і атоми O(1), C(9), C(10), N(3) лежать в одній площині з точністю 0.02  $\text{\AA}$ . Фенілкарбамідний замісник при атомі C(9) плаский з точністю 0.02  $\text{\AA}$ , недивлячись на відштовхування між атомами водню ароматичного циклу і аміногрупи (скорочений внутрішньомолекулярний контакт H(23)...H(3N) 1.92  $\text{\AA}$  при сумі ван-дерваальсових радіусів [2] 2.34  $\text{\AA}$ ), знаходиться в sp-конформації відносно зв'язку C(7)-(8) (торсійний кут C(8)-C(7)-C(9)-N(3) 2.0(2) $^\circ$ ) і копланарний екзоциклічному подвійному зв'язку C(7)-C(9) (торсійний кут C(17)-N(3)-C(9)-C(7) 176.4(1) $^\circ$ ). Таке положення фенілкарбамідного замісника ста-

Таблиця 4

Валентні кути  $\omega$  (град.) у структурі  
N-[(1Z)-2-аніліно-2-оксо-1-(2-оксо-1,2-дигідро-  
3Н-індол-3-іліден)етил]бензаміду

Валентні кути	$\omega$	Валентні кути	$\omega$
C(8)-N(1)-C(1)	111.5(1)	C(10)-N(2)-C(11)	128.3(1)
C(17)-N(3)-C(9)	128.1(1)	C(2)-C(1)-C(6)	123.7(1)
C(2)-C(1)-N(1)	128.6(1)	C(6)-C(1)-N(1)	107.7(1)
C(1)-C(2)-C(3)	117.6(2)	C(2)-C(3)-C(4)	120.5(2)
C(5)-C(4)-C(3)	121.2(2)	C(4)-C(5)-C(6)	120.1(1)
C(5)-C(6)-C(1)	117.0(1)	C(5)-C(6)-C(7)	135.1(1)
C(1)-C(6)-C(7)	107.8(1)	C(9)-C(7)-C(6)	132.1(1)
C(9)-C(7)-C(8)	121.7(1)	C(6)-C(7)-C(8)	106.1(1)
O(1)-C(8)-N(1)	125.7(1)	O(1)-C(8)-C(7)	127.5(1)
N(1)-C(8)-C(7)	106.7(1)	C(7)-C(9)-N(3)	121.4(1)
C(7)-C(9)-C(10)	119.3(1)	N(3)-C(9)-C(10)	119.2(1)
O(2)-C(10)-N(2)	126.4(1)	O(2)-C(10)-C(9)	119.6(1)
N(2)-C(10)-C(9)	113.8(1)	C(12)-C(11)-C(16)	118.8(1)
C(12)-C(11)-N(2)	118.0(1)	C(16)-C(11)-N(2)	123.2(1)
C(11)-C(12)-C(13)	119.7(1)	C(14)-C(13)-C(12)	121.0(2)
C(15)-C(14)-C(13)	118.3(2)	C(14)-C(15)-C(16)	123.1(2)
C(15)-C(16)-C(11)	119.2(2)	O(3)-C(17)-N(3)	120.7(1)
O(3)-C(17)-C(18)	123.2(2)	N(3)-C(17)-C(18)	116.1(1)
C(23)-C(18)-C(19)	119.0(2)	C(23)-C(18)-C(17)	123.6(2)
C(19)-C(18)-C(17)	117.5(1)	C(20)-C(19)-C(18)	120.3(2)
C(21)-C(20)-C(19)	121.0(2)	C(20)-C(21)-C(22)	119.1(2)
C(21)-C(22)-C(23)	121.3(2)	C(18)-C(23)-C(22)	119.3(2)
C(1SC)-O(1SA)-C(4SC)	105.9(3)	C(1SA)-O(1SA)-C(4SA)	100.9(3)
C(3SA)-O(2SA)-C(2SA)	104.2(2)	C(2SC)-O(2SA)-C(3SC)	107.9(2)
O(1SA)-C(1SA)-C(2SA)	100.4(2)	O(2SA)-C(2SA)-C(1SA)	104.9(3)
O(2SA)-C(3SA)-C(4SA)	103.8(2)	O(1SA)-C(4SA)-C(3SA)	102.2(2)
O(1SA)-C(1SC)-C(2SC)	106.1(3)	O(2SA)-C(2SC)-C(1SC)	103.1(3)
O(2SA)-C(3SC)-C(4SC)	100.8(3)	O(1SA)-C(4SC)-C(3SC)	107.1(3)
O(1SB)-C(1SB)-C(2SB)	115.0(2)		

блізовано внутрішньомолекулярним водневим зв'язком N(3)-H...O(1) H...O 2.01  $\text{\AA}$  N-H...O 138°. Ароматичний цикл знаходиться в *ap*-конформації відносно зв'язку C(9)-N(3) (торсійний кут C(9)-N(3)-C(17)-C(18) 176.0(1) $^\circ$ ). Другий замісник при атомі C(9) знаходиться в *ap*-конформації відносно зв'язку C(7)-C(8) (торсійний кут C(8)-C(7)-C(9)-C(10)-174.3(1) $^\circ$ ) і розгорнутий перпендикулярно екзоциклічному подвійному зв'язку (торсійний кут C(7)-C(9)-C(10)-O(2) 93.9(2) $^\circ$ ), що, імовірно викликало відштовхуванням між атомами біциклічного фрагмента і атомами замісника (скорочені внутрішньомолекулярні контакти H(5)...C(10) 2.65  $\text{\AA}$  (2.87  $\text{\AA}$ ), C(5)...C(10) 3.19  $\text{\AA}$  (3.42  $\text{\AA}$ )). Ароматичний цикл C(11)...C(16) знаходиться в *ap*-конформації відносно зв'язку C(9)-C(10) (торсійний кут

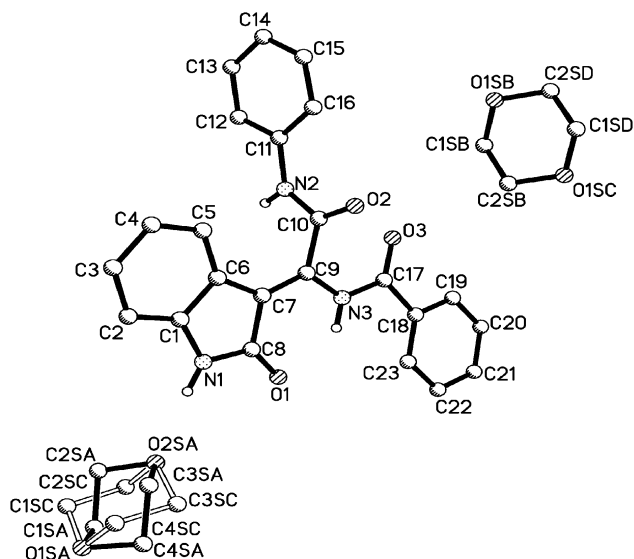


Рис. Загальний вигляд молекули  $N\text{--}[(1Z)\text{--}2\text{-аніліно}\text{--}2\text{-оксо}\text{--}1\text{--}(2\text{-оксо}\text{--}1,2\text{-дигідро}\text{--}3H\text{-індоль}\text{--}3\text{-іліден})\text{етил}]бензаміду$  (3a)

$C(11)\text{--}N(2)\text{--}C(10)\text{--}C(9)$   $170.3(1)^\circ$ ) і практично ко-планарний пласкому амідному фрагменту (торсійний кут  $C(10)\text{--}N(2)\text{--}C(11)\text{--}C(16)$   $6.4(2)^\circ$ ), що є результатом впливу двох протилежно направлених факторів: внутрішньомолекулярному водневому зв'язку  $C(16)\text{--}H(16)\dots O(2)$   $H\dots O$   $2.29\text{ \AA}$   $C\text{--}H\dots O$   $122^\circ$ , який стабілізує планарну конформацію замісника і відштовхування між атомами водню  $H(12)\dots H(2N)$   $2.30\text{ \AA}$  ( $2.34\text{ \AA}$ ), що сприяє розвороту планарних фрагментів один відносно одного. Обидві сольватні молекули діоксану знаходяться в конформації крісло (параметри складчастості [15]:  $S = 1.46$ ,  $\Theta = 2.3^\circ$ ,  $\Psi = 1.3^\circ$  для A1,  $S = 1.39$ ,  $\Theta = 0.5^\circ$ ,  $\Psi = 3.2^\circ$  для A2 і  $S = 0.91$ ,  $\Theta = 0.0^\circ$ ,  $\Psi = 0.5^\circ$  для молекули B).

У кристалі молекули  $N\text{--}[(1Z)\text{--}2\text{-аніліно}\text{--}2\text{-оксо}\text{--}1\text{--}(2\text{-оксо}\text{--}1,2\text{-дигідро}\text{--}3H\text{-індоль}\text{--}3\text{-іліден})\text{етил}]бензаміду$  утворюють центросиметричні димери, в яких молекули розташовані одна відносно одної за типом “голова до хвосту” за рахунок міжмолекулярних водневих зв'язків  $N(2)\text{--}H\dots O(1)'$  ( $1-x, 1-y, 1-z$ )  $H\dots O$   $2.04\text{ \AA}$   $N\text{--}H\dots O$   $173^\circ$ . Утворення водневого зв'язку сприяє також подовженню зв'язку  $C(8)\text{--}O(1)$  до  $1.243(2)\text{ \AA}$  (середнє значення [12]  $1.210\text{ \AA}$ ). Димери зв'язані з однією сольватною молекулою діоксану міжмолекулярним водневим зв'язком  $N(1)\text{--}H\dots O(2Sa)$   $H\dots O$   $2.00\text{ \AA}$   $N\text{--}H\dots O$   $173^\circ$ .

#### Експериментальна частина

Спектри ЯМР  $^1H$  синтезованих речовин (табл. 2) записані на спектрофотометрі Varian Mercury VX-200 (робоча частота складає  $200\text{ MHz}$ ). Розчинник  $DMSO\text{--}D_6$ , внутрішній стандарт — ТМС.

Тонкошарову хроматографію (ТШХ) сполук виконували на пластинах Sorbfil, система розчинників діоксан-гексан-мурашина кислота ( $7:7:0.7$ ).

#### $N\text{--}[(1Z)\text{--}2\text{-аніліно}\text{--}2\text{-оксо}\text{--}1\text{--}(2\text{-оксо}\text{--}1,2\text{-дигідро}\text{--}3H\text{-індоль}\text{--}3\text{-іліден})\text{етил}]бензамід$ (3a)

*Метод А.* До розчину  $1.45\text{ g}$  ( $0.005\text{ Моль}$ ) 2-феніл-4-(2-оксоіндоліліден-3)-5-оксазолону в  $5\text{ ml}$  диметилформаміду додають  $0.46\text{ g}$  ( $0.005\text{ Моль}$ ) аніліну. Реакційну суміш кип'ятять зі зворотним холодильником протягом  $40\text{ хв}$ , потім виливають у воду. Осад відфільтровують, промивають водою, висушують та кристалізують із діоксану. Вихід —  $0.8\text{ g}$  (43%). Т.пл. —  $272\text{--}274^\circ C$ .

*Метод Б.* До розчину  $1.45\text{ g}$  ( $0.005\text{ Моль}$ ) 2-феніл-4-(2-оксоіндоліліден-3)-5-оксазолону в  $15\text{ ml}$  етанолу додають  $0.46\text{ g}$  ( $0.005\text{ Моль}$ ) аніліну. Реакційну суміш кип'ятять зі зворотним холодильником на водяній бані протягом  $45\text{ хв}$ , потім охолоджують. Осад відфільтровують, промивають водою, висушують та кристалізують із діоксану. Вихід —  $1.6\text{ g}$  (86%). Т.пл. —  $272\text{--}274^\circ C$ .

Аналогічно отримують сполуки **3b-t**.

Змішана проба сполук, отриманих за методами А і Б, не дає депресії температури плавлення, їх спектри ЯМР  $^1H$  ідентичні.

#### $R$ ентгеноструктурне дослідження $N\text{--}[(1Z)\text{--}2\text{-аніліно}\text{--}2\text{-оксо}\text{--}1\text{--}(2\text{-оксо}\text{--}1,2\text{-дигідро}\text{--}3H\text{-індоль}\text{--}3\text{-іліден})\text{етил}]бензаміду$ (3a)

Кристали  $N\text{--}[(1Z)\text{--}2\text{-аніліно}\text{--}2\text{-оксо}\text{--}1\text{--}(2\text{-оксо}\text{--}1,2\text{-дигідро}\text{--}3H\text{-індоль}\text{--}3\text{-іліден})\text{етил}]бензаміду$  моноклінні  $C_{23}H_{17}N_3O_3 \cdot 1.5 C_4H_8O_2$ , при  $20^\circ C$   $a = 10.653(1)$ ,  $b = 15.822(2)$ ,  $c = 16.413(2)\text{ \AA}$ ,  $\beta = 104.69(1)^\circ$ ,  $V = 2676.0(5)\text{ \AA}^3$ ,  $M_r = 515.55$ ,  $Z = 4$ , просторова група  $P2_1/c$ ,  $d_{\text{вир.}} = 1.280\text{ g/cm}^3$ ,  $\mu(\text{MoK}\alpha) = 0.090\text{ mm}^{-1}$ ,  $F(000) = 1088$ . Параметри елементарної чарунки та інтенсивності 17538 відображені (4688 незалежних,  $R_{\text{int}} = 0.205$ ) виміряні на дифрактометрі “Xcalibur-3” (MoK $\alpha$  випромінювання, CCD-детектор, графітовий монохроматор,  $\omega$ -сканування,  $2\theta_{\text{макс}} = 50^\circ$ ).

Структура розшифрована прямим методом за комплексом програм SHELXTL [13]. При уточненні структури накладались обмеження на довжини зв'язків в розупорядкованій молекулі діоксану ( $Csp^3\text{--}O$   $1.42\text{ \AA}$ ,  $Csp^3\text{--}Csp^3$   $1.52\text{ \AA}$ ). Положення атомів водню розраховані геометрично і уточнені за моделлю “найзника” з  $U_{\text{ізо}} = 1.2U_{\text{екв}}$  неводневого атома, що зв'язаний з даним водневим. Структура уточнена за  $F^2$  повноматричним МНК в анізотропному наближенні для неводневих атомів до  $wR_2 = 0.060$  за  $4604$  відображеннями ( $R_1 = 0.045$  за  $1225$  відображеннями з  $F4\sigma(F)$ ,  $S = 0.548$ ).

#### Висновки

Шляхом амінолізу 2-феніл-4-(2-оксоіндоліліден-3)-5-оксазолону ариламінами в середовищі диметилформаміду або етанолу синтезовані  $N\text{--}[(1Z)\text{--}2\text{-ариламіно}\text{--}2\text{-оксо}\text{--}1\text{--}(2\text{-оксо}\text{--}1,2\text{-дигідро}\text{--}3H\text{-індоль}\text{--}3\text{-іліден})\text{етил}]бензаміди$ , структура яких доведена за допомогою даних елементного аналізу, ЯМР  $^1H$  спектроскопії і рентгеноструктурного дослідження, а індивідуальність — методом ТШХ.

## Література

1. Болотов В.В., Ковальова С.В., Степаненко В.І. та ін. // ФАР. — 1999. — №3 (27). — С. 51-54.
2. Зефиров Ю.В. // Кристаллография. — 1997. — Т. 42, №5. — С. 936-958.
3. Луценко Р.В., Дев'яткіна Т.О., Колісник С.В. та ін. // Укр. журн. клін. та лабор. мед. — 2008. — Т. 3, №3. — С. 89-92.
4. Луценко Р.В., Дев'яткіна Т.О., Сидоренко А.Г. та ін. // Клін. фармація. — 2009. — Т. 13, №1. — С. 47-49.
5. Пат. на винахід №89542 (2010) Україна // Б.В. — 2010. — №3.
6. Пат. на винахід №90357 (2010) Україна // Б.В. — 2010. — №8.
7. Пат. на корисну модель №38064 (2008) Україна // Б.В. — 2008. — №24.
8. Шамілов О.В., Штриголь С.Ю., Колісник С.В. та ін. // Акт. пробл. сучасної мед.: Вісник Укр. мед. стоматол. академії. — 2009. — Т. 9, вип. 2(26). — С. 139-142.
9. Шевцов І.І., Березняков В.І., Торянік Е.Л. та ін. // Мед. хімія. — 2006. — Т. 8, №1. — С. 67-71.
10. Штриголь С.Ю., Сміхарний О.О., Колісник С.В. та ін. // Вісник фармації. — 2008. — №3 (55). — С. 60-63.
11. Штриголь С.Ю., Сміхарний О.О., Колісник С.В. та ін. // Вісник фармації. — 2008. — №4 (56). — С. 75-77.
12. Burgi H.-B., Dunitz J.D. // Structure correlation. — 1994. — Vol. 2. VCH. Weinheim. — P. 741-784.
13. Sheldrick G.M. // Acta Crystallogr., Sect. A. — 2008. — A64. — P. 112-122.
14. Stefanovich G., Mihailovich S. // Glasnik Khem. Drushiva. — 1959. — №22. — P. 459-471.
15. Zefirov N.S., Palyulin V.A., Dashevskaya E.E. // J. Phys. Org. Chem. — 1990. — Vol. 3. — P. 147-154.

Надійшла до редакції 14.04.2010 р.